

MHD 直接發電의 概觀

鄭 萬 永*

1. 直接發電의 實用的 意義⁽¹⁾

人類 energy 需要의 急激한 增大에 따라서 原子力 平和 利用의 開發이 各國에서 이루어지고 있는 것은 周知의 事實이나, 現在에서는 最近의 物理探鑽法의 進步에 따라 石炭, 石油, 天然gas 등의 所謂 耗하는 化石燃料의 埋藏量도豫測以上으로 많다는 것을 알게 되었다. 여기서 前者와 後者를 利用하는데 있어서 가장 高級인 energy 形態가 電力의 形으로 從來와는 全혀 다른 새로운 方法에 依하여 더 높은 效率로 變換할 수 있는 所謂 “直接發電方式”이 最近各 方面에서 注目되게 되었다. 이때의 直接發電이란 在來의 火力發電 또는 現行의 原子力發電에 있어서 turbine 方式에 依해서 热 energy를 一但 機械的 energy로 變換해서 얻는 電力이 아니고 热 energy를 “直接” 電力으로 바꿀 수 있는 것을 말하며 特히 이 가운데서도 높은 效率로 電力を 얻는手段을 말한다. 여기에는 MHD 發電以外에 热電子發電, 热電氣發電, 热誘電發電, 超電導發電 등이 있으나, 後記三者は 아직 着想 또는 科學的基礎研究의範圍를 넘어서지 못하고 다만 前記三者が 工學的인 實用試驗 또는 一部 實用段階에 있다. 이 가운데서도 热電子, 热電氣 등에 依한 發電은 低電位의 小電力用으로 特殊한 方面에만 使用되나 MHD (Magneto-Hydro-Dynamics)에 依한 새로운 發電方式은 가장 總合 热變換效率이 좋고, 特히 將來의 大出力集中發電에 適合하여서 2~3年前부터 注目되기, 始作하여 世界各國으로부터 實用開發의段階에 들어섰다.

2. MHD 發電과 總合熱効率

電磁流體力學에 基礎를 둔 MHD 發電은 特히 (가)動作溫度領域 ($1,400\sim 3,500^{\circ}\text{C}$)이 다른方式에 比하여 매우 높고, 따라서 보다 낮은 动作溫度領域을 가진 從來의 turbine 方式 또는 다른 直接發電方式과의 併用으로써 發電 plant의 總合熱効率를 飛躍의으로 從來의 40% 前後에서 60% 前後까지 올릴 수 있다. 이것은 热力學的考察에서 理論的으로 얻을 수 있는 最高의 热効率로서는

$$\xi = 1 - \left(\frac{T_L}{T_H} \right) = 1 - \frac{500^{\circ}\text{K}}{3,500^{\circ}\text{K}} = 85.7\%$$

로 되나, 實際에 있어서는 MHD 方式의 3500°K 로 부터 現在의 turbine 方式的 500°K 까지의 全溫度領域을 全혀 热損失없이 發電하기는 不可能하므로 MHD+蒸氣 turbine 方式에 對한 實用設計 및 實驗値로부터 55~60%가 試算되고 있다. (나) 大出力發電 plant ($500\sim 1,000\text{ MW}$)에 가장 適合하다는 特徵을 갖고 있다. 그것은 發電 duct의 壁에 依한 热損失이 出力의 平方根에 比例하여, 運轉費用도 出力의 $6/10$ 乗에 比例하기 때문이다. 따라서 蒸氣 turbine을 採用하는 現行의 火力發電 및 原子力發電에 將來 이것이 “Topper”로서 附加되면 今後의 火力 및 原子力發電界에는 草新的인 發展을 가져올 것이다. 이것이 實現되면 國家豫算의 莫大한 節約이 莫 뿐만 아니라 같은 電力を 얻는 데 20%의 燃料의 節約를 할 수 있으므로써 化石燃料뿐만 아니라 原子燃料의 經濟面에서도 새로운 意義를 가져 올 것이다.

3. 基本的 考察⁽²⁾

가 一次元的 發電理論

MHD 發電은 原理의 面에서는 이미 1840年에 Faraday가 電磁誘導法則을 考察했을 때 부터 있었던 것으로 그때는 潮流를 (海水를 導電性流體로 생각해서) 地磁場에 鎮交시켜 發電을 하려 했으며 그 후 海水代身에 水銀을 使用하려고 (現在의 電磁流量計의 原理, 電磁 pump의 反對) 했다. 그러나, 그 후 이것이 回轉發電機型에만 應用되고 MHD 自體로서는 實踐을 못 본채 오늘 날에 이르렀다가 工學的으로 새롭게 再檢討된 理由로서는

(1) Plasma Physics, MHD 및 Rocket 推進工學 등에 關聯한 學術의 進步 및 거기에 關聯한 各種工學技術의 進展에 依하여 高溫 gas의 取扱이 熟達되었다.

(2) Rocket 技術의 進步에 따라 特殊 高溫材料가 急速히 開發되었다는 點이다.

여기서 그 基本原理를 一次元的으로 考察해 보기로 한다. 거기에는 定速度型과 定溫度型이 있으나, 比較的 解析이 簡便한 前者에 對한 理論 考察의 結果는 直觀的인 考察結果와 잘 合致된다. 即 그림 1과 같이 磁界 B 에 垂直으로 高溫 高速의 導電性 gas 流가 速度 v 로 지나

*原子力研究所 電子工學研究室

면 Faraday 의 電磁誘導法則에 依하여 起電力 $V_0 = u \times B$ 가 생긴다. 이것이 그림 2 와 같은 外部負荷에 負荷電流 I_L 을 흘리게 되면

$$I_L = \sigma(\mu B - V) = \frac{\mu B}{R_i + R_L}$$

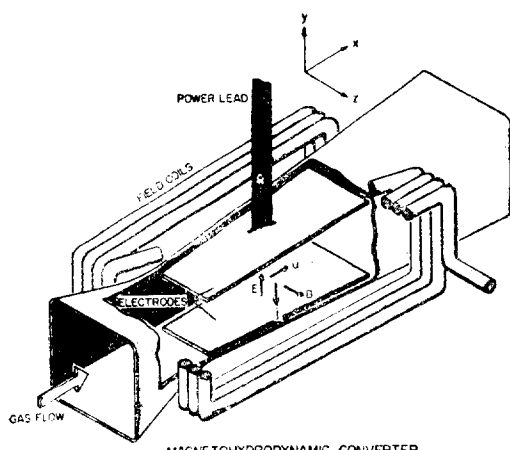


그림 1. MHD 發電原理圖

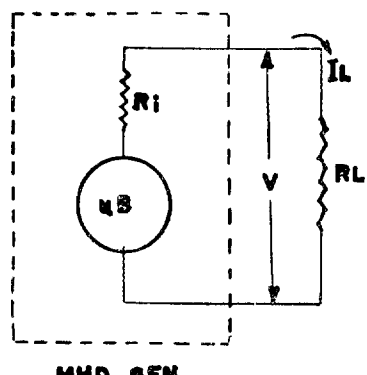


그림 2. 定速度型의 等價回路

負荷率 η 는

$$\eta = \frac{R_L}{R_L + R_i} = \frac{V}{\mu B}$$

따라서 負荷로부터 일어나는 電力密度 P 는

$$P = \sigma u^2 B^2 (1 - \eta) \quad (1)$$

最大出力を 얻기 위해서는 $\eta = \frac{1}{2}$ 에서 整合條件이 되어서

$$P_{max} = \frac{1}{4} \sigma u^2 B^2$$

지금 $\sigma = 50 \text{ U/m}$, $u = 10^3 \text{ m/sec}$, $B = 20,000 \text{ gauss}$
 $= 2 \text{ Wb/m}^2$ 라 하면

$$P = 50 \text{ MW} \text{ 가 됨.}$$

또 duct 部의 入出力端間의 gas 壓力差 Δp 는 運動方程式 $\rho_m \left(\frac{Du}{Dt} \right) = -\rho_m \nabla \phi - \nabla p + \rho_e E + I_L \cdot B$ 에서 理想氣體이면 重力項 $\nabla \phi$ 및 靜電力項 $\rho_e E$ 는 無視되고, 定

速型 定常流에서는 $d\rho/dx = I_L \cdot B$ 가 되어서

$$\therefore \Delta p = \int_a^b d\rho/dx \cdot dx = \sigma u B^2 L (1 - \eta) \dots (2)$$

가 된다. 여기서 所要의 出力值를 얻는데 必要한 duct 長 L 을 求할 수 있다.

나. 分類

큰 分類로서 热 energy 源에 依한 것과, 變換方式에 依한 것의 두 가지가 생긴다. 前者에 依한 分類로서는

(1) 化石燃料 (石炭, 石油, 天然 gas 등) 的 燃燒에 依한 것과

(2) 原子爐 (現在의 核分裂과 將來의 核融合爐) 를 對象으로 하는 것이 있다.

이 가운데서 前者에서는 排氣 gas의 發生 때문에 必然의로 開放型 (open-cycle) 이고, 在來의 火力發電部門의 改良의 機械的인 움직임에 依한 現在의 限度를 超躍의로 革新시키기 爲한 基礎研究의 領域을 脫皮해서 技術開發의 段階에 突入하고 있다. 여기에 比하여 後者에서는 排氣 gas 가 나오지 않으므로 作動 gas 를 循環시키는 閉路型 (closed-cycle) 으로 할 수가 있어서 He 나 Ar 같은 作動 gas 는 化學反應性이 없으므로 導電度 上昇用 (seed) 物質 (Cs K 等) を 任意로 選擇할 수 있는 것과 同時に 2,000°K 以下에서도 非平衡 電離法에 依하여 쉽게 必要한 導電率를 얻을 수 있다. 따라서 1,900°K 程度의 超高溫 原子爐 (UHTREX) 가 完成되면 이들의併用은 必然의로 優秀한 展望을 가졌을 뿐만 아니라 將來 核融合이 實現되면 總合効率이 70% 以上이 될 것이다.

다음에 第 2의 變換方式에 依한 分類에서는 (1) 既述한 바와 같은 直線狀 定常 gas 流에 依한 直流發電과 (2) 間缺 gas 流 其他에 依한 交流發電方式 等이 있으나 後者는 前者에 比하여 作動流體의 導電度와 10~100 倍 以上 높아지지 않으면 實用 不可能한 狀態이므로 아직 여러가지 提案으로 基礎研究만 行해지고 있을 段階이다. 그러나, 前者에서는 大電力用 設計試作이 活潑히 行해지고 있으며 그中 化石燃料에 對한 直流發電方式에서는 燃料를 完全燃燒시켜 高溫을 얻기위한 空氣像熱法과 排氣 gas의 energy 回收方法 및 高溫耐熱材料에 對한 對策이 가장 有利한 方法으로 推進되고 있다.

다. 高溫氣體의 導電度

(1) 式에서 出力密度 P 를 大にする 면서 作動 gas 의 流速 u 와 磁界 B 를 大하여야 하는데 前者は 高溫 高速의 限度로서 數千 m 떠 後자는 超傳導磁石를 使用해서 數萬 gauss 에서 將來 數 10만 gauss 까지를 얻을 수 있다. 이와같이 強한 磁場이 必要하게 되는 것은 從來의 發電機에서는 銅線과 같은 金屬導體가 磁場內를 回轉運動하므로써 發電될때 銅의 導電度는 MHD 發電

의 作動 gas 流의 그것보다 約 萬倍 以上 높았기 때문에 그다지 큰 磁界를 必要로 하지 않았으나 MHD 發電器에서는 磁場이나 流速에서 高溫 高壓을 얻는데 材料面에서 그 限度까지 이르렀으므로 나머지는 作動 gas 的 導電度 σ 를 훨씬 크게 할 수 밖에는 없다. 그러나 實際에서에는 3,000°K 前後의 溫度에서 普通 氣體分子의 热電離는 充分하지 않고 不良導體라고 하여도 좋다. 여기서 既述한 바와 같이 Cs, Na, K 等의 電離電壓이 아주 낮은 alkali metal 分子를 作動 gas 中에 微量混入하여 주는 seeding 法이 行해지고 있다. 이때 热 平衡狀態에 있는 氣體의 電離度 α 는 有名한 Saha 의 式에서⁽³⁾ p 를 gas 壓力 (mm Hg.), V_t 를 氣體의 電離電壓, T 를 氣體의 絶對 溫度하고 하면

$$\frac{\alpha}{V_t - \alpha^2} \cdot \sqrt{p} = 0.0159 T^{5/4} \exp(-5820 V_t/T) \cdots (3)$$

로 表示된다. 이것을 圖示한 것이 그림 3 으로서 $P=1$ mm Hg 때의 α 와 V_t 및 T 와의 關係를 圖示한 것이다.

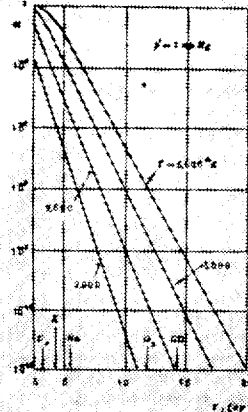


그림 3. 電離度(α)와 電離電壓(V_t)과의 關係

다. 여기서 V_t 的 增大 또는 T 的 低下에 依하여 電離度 α 는 急激히 減少하는 것을 알 수 있다. 또 $V_t > 10$ eV 的 普通 gas 分子에서는 $T \approx 3,500$ K 라도 電離度 α 는 10^{-5} 以下가 돼서 實際上 거의 電離하지 않는다고 봐도 좋다. 한편 alkali metal 分子에서는 $\alpha \approx 1\%$ 를 얻는데 Cs 면 2,000 K 強, K 면 3,000 K 程度의 热 平衡溫度가 必要한 것을 알 수 있으며 이러한 分子를 高溫作動 gas에 seeding 했을 때의 導電度 $\sigma^{*!}$ 는

$$\sigma \propto \frac{\sqrt{\varepsilon_s}}{\varepsilon_s Q_s + (1-\varepsilon_s) Q_i + g \nu \varepsilon_s \cdot Q_{ei}} \cdots (4)$$

但 $\varepsilon_s = n_s/n_t$: seed 分子와 gas 分子의 分子密度 比

Q_s : Electron 和 seed 分子와 衝突斷面積

Q_{ei} : Electron 和 positive ion 間의 衝突斷面積

Q : 初변째의 中性分子와 彈性 衝突斷面積

g : 定數

여기서 導電度를 最大로 하기 위한 最適의 seed 量은

$$(\varepsilon_s)_{max} = \frac{Q_i}{Q_s - Q_i} \approx \frac{Q_i}{Q_s} \cdots (5)$$

따라서 具體的으로는

- i). (Ar+Cs)에 대해서 約 0.18%
- ii). (Ar+K)에 대해서는 約 0.14%
- iii). (He+Cs)에 대해서는 約 2.9%
- iv). (CO+O₂+K)에 대해서는 約 3.6%

과 같이 된다. 이와같이 하여서 各種作動 Gas 와 Seed 物質의 組合에 對한 導電度의 數을 計算한 것이 그림 4 이다.

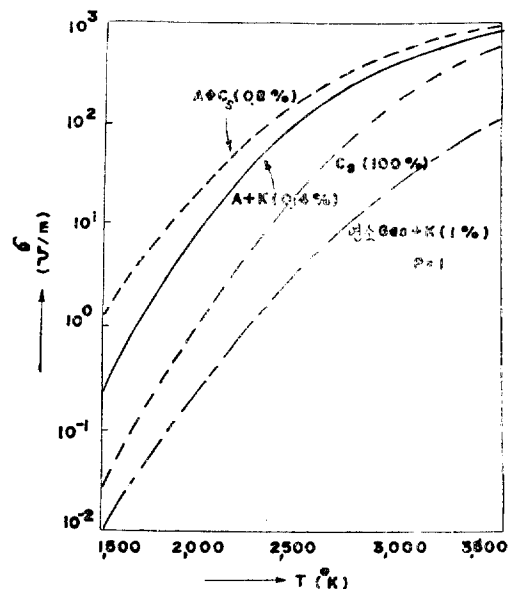


그림 4. 各種 Gas 와 Seed 物質(%)의 組合에 對한 Gas 導電度의 溫度特性

여기서는 100% Cs 的 情況도 圖示해 두었으나 이것이 (Ar+Cs) 및 (Ar+K)보다 작은 σ 를 주는 것은 Cs 的 Q_s 가 매우 크기 때문에 σ 를 크게 하기 위해서는 理論的으로 작은 Q_s 値을 기진 作動 gas (例로 Ar) 에 微量의 alkali metal 分子를 seed 物質로 添加하는 것이 單只 電離電壓이 낮다는 理由로서 100%의 alkali metal を 作動 gas 로 選擇하는 것 보다 要선 有利하다는 것을 알 수 있다. 또 $\sigma = 100 \Omega/m$ 에 가까운 導電度를 얻을려면 3,000 K 以上的 高溫이 必要하다는 것도 알 수 있다.

라. Hall 効果와 Hall 發電器

a) Hall 効果와 分割電極方式

磁界 B 中에서 質量 m , 電荷 e 的 荷電粒子는 $\omega_B = eB/m$ 라는 cyclotron 角周波數로 B 에 垂直인 平面內에서 回轉運動을 한다. 이때 이 面內에 電界 E 가 加해지면 $E \times B$ 的 方向에 drift 運動이 일어난다. MHD 發電에서도 duct 內의 磁界와 電界의 雙方에 垂直인 電

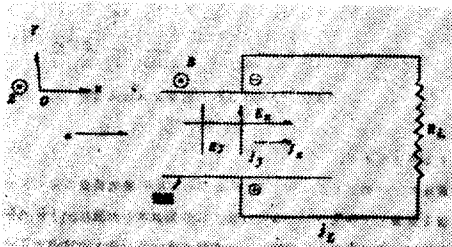


그림 5. Hall 効果의 考察圖

plasma 流方向으로도 그림 5와 같이 電界 E_x 및 電流 I_x 가 誘起된다. 이 現象을 MHD 發電에 있어서의 Hall 効果라고 부르며 ω_b 와 電子의 實効 衝突時間 τ_e 와의 積 $\omega_b \tau_e$ 라는 因子로 表わ된다. 이때 흐름方向으로 진 電極을 使用하면 E_x 는 이 電極에 의하여 短絡된 結果가 되어서 흐름方向으로도 Hall 電流 I_x 가 생긴다. 이 結果 電極間に 흐르는 外部負荷에 供給되는 電力密度 P 는

$$P = \frac{\sigma}{1 + (\omega_b \tau_e)^2} u^2 B^2 \eta (1 - \eta) \dots \dots \dots (6)$$

와 같게되어서 Hall 효과가 없다고 假定했을 때의

$\frac{1}{1 + (\omega b^2 \tau_e)^2}$ 로減少된다. 换言하면 電磁作動流體의導電度 σ 가 이만큼減少한 것과 等價로 되어서 實用目的에는 매우 惡影響을 준다. 이를 防止하기 위하여 $\omega b \tau_e \ll 1$ 로 하면 되나, 實際上 다른制限에서 반드시 그렇게도 않되기 때문에 電極을 흐름方向으로 多數 分割한 것을 서로 絶緣한 狀態에서 併置하면 Hall電界는 생기나 電流는 흐를 수가 없어져서 電氣出力은 Hall效果가 없을 境遇와 같게 할 수 있다.

여기서 τ_e 가 큰 作動 gas인 He나 Ar 같은稀有gas를 使用하는 原子爐用 MHD發電에서는 $\omega_b \tau_e > 3$ 가 되어서 分割電極때와는 反對로 Hall電界와 电流를 積極的으로 發電出力으로서 利用하는 方法이 Hall發電法이다.

따라서 $\omega \tau \leq 3$ 일 때는 普通 分割電樞方式이 有利하나 $\omega \tau \geq 3$ 일 때는 兩者의 差는 거의 없어져서 全出力은 一括해서 duct 兩端의 電樞에서 뽑아낼 수 있는 Hall型이 實際上 便利하다.

4. 原子力發電에의 應用*

지금까지는 石炭이나 石油를 燃燒시키는 MHD 發電에
關해서 論하였다. 그러나 이런 發電器가 되어도 이것은
原子力發電에는 應用 안 된다. 그理由는 火力用의 MHD
發電은 적어도 $3,000^{\circ}\text{K}$ 以上의 高溫 gas 가 아니면 안되
지만 原子爐에 있어서 이런 高溫 gas 를 發生시키는 것
은現在 매우 困難하다. 그러므로 原子力發電에 使用되는
MHD 發電器는 $1,000 \sim 2,000^{\circ}\text{K}$ 에서 作動되고 또 gas
는稀有 gas 를 使用해야만 한다. 이와같이 條件이 다
르기 때문에 電離의 方法도 다르고 火力方式에서는 熱
平衡電離가 使用되는 反面 原子力發電에서는 非平衡電

離가 使用되지 않으면 안된다. 또 發電器도 主로 Hall 型 發電器로 된다. 그러므로 지금까지 說明한 것과는 全然 다른 發電器를 開發하지 않으면 안된다는 結論이 나온다. Hall 發電器에서는 다음 2個의 特徵을 가진다.

- (1) 出力電壓은 상당히 高電壓이 된다는 것.
 (2) 상당히 높은 $\omega_b \tau_e$ 의 값을 使用하게 된다는 것.

이상 두 가지 理由때문에 單位體積當 出力を普通의
화石式 MHD 發電에 比해서 10倍 以上 增大시킬 수 있
고 compact 한 發電器를 만들 수 있게 된다.

또한 發電器의 出力密度가 커지면 電離를 結合한 狀態에서 發電할 可能성이 있다. 例를 들면 처음에 電離시켜 놓고 再結合이 일어나기 前에 出力を 뽑아내는 것도 可能하다. 이와 같은 可能性은 상당히 魅力이 있다. 단지 이때 導電率의 不均一性이 되지 않도록 注意해야 한다. 原子爐熱源에 의한 MHD 發電의 應用에 있어서 有利한 點은 燃燒 gas 式에 比해 MHD 를 위해서 상당이 좋은 gas 를 使用할 수 있다는 것이다. (原子力方式에서는 He 나 Ar 等을 使用한다)

前述한 바와 같이 電子에 對한 稀有 gas의 衝突斷面積이 작으면 gas의 導電性을 높혀 出力密度를 增加시키는데 대단히 必要하다. 稀有 gas 中에서 Ar은 Lau sauer 効果가 있기 때문에 $2,000^{\circ}\text{K}$ 以下의 領域에서 다른 gas에 比較해서 매우 작은 斷面積을 가지는 gas이다. 또 He도 상당히 작은 斷面積을 가지며 原子量이 작기 때문에 高流速의 흐름을 얻는데 適合하다. 그리고 原子爐熱源의 경우에 seed로 K보다 훨씬 補雜가 쑬운 Cs를 使用하기 때문에 燃燒 gas에 K를 使用한 경우와 비교해서 電離度가 커지고 이런 利點이 加重되어 $2,000^{\circ}\text{K}$ 程度에서도 높은 導電率이 얻어진다. 이런 것은 Gas의 化學反應성이 없다는 것을 말해주는 MHD發電에 있어서 대단히 有利한 點이다.

原子爐用 MHD 發電器에서는 gas의 性質로 부터 ω_b τ_e 의 값이 상당히 크게 잡히므로 電子溫度가 gas 溫度 보다 높게 된다. gas의 電離度는 電子의 溫度와 平衡이 되고 gas의 溫度와는 平衡이 않된다고 生覺되므로 導電率을 높일 수 있다. 即燃燒 gas를 使用하는 경우에는 電子溫度의 上昇이 gas 溫度의 上昇과 거의 같아 질려면 대략 100,000 gauss 以上的 磁場이 必要하지만 한편 Ar 을 使用할 경우는 꽤 낮은 磁場으로도 容易하게 非平衡의 導電率를 얻을 수 있다. 이 경우에도 均一한 電離를 만들어야 한다는 注意는 必要하다.

또 다른 有警한 方法으로 粒子 또는 輻射를 使用해서
처음에 gas 를 電離시켜 놓고 이것을 頗한 磁場에 通過
시키는 方法이다. 이때는 電離를 均一하게 維持하기 為
한 注意는 그리 必要치 않다.

이와같이 原子爐에 依한 MHD發電의 應用 研究는 火

力式의 MHD 發電의 研究와는 큰 差가 있고 또 興味가 있다. 그러므로 今後 研究方向은 非平衡에 關해 研究될 것이며 2,000°K 보다 數百度 程度 더 낮은 溫度에서 使用 할 수 있는 MHD 를 研究해야 한다. 그렇게 된다면 2~3 年 程度 後에는 原子爐에서 發生되는 最高溫度의 gas 와 MHD 發電과는 거의 一致하게 될 것이다.

5. 實用開發의 現狀과 實用計劃*

MHD 發電을 實證하는 最初의 實驗은 1958年에 美國 AVCO 研究所에서 10kW 的 電力發生에 歷史的인 成功을 거두었다. 그後 이곳에서 繼續해서 1959年 8月에 11.3 kW, 1960年 12月에 Mark I 를 100 kW, 1961年 10月에 Mark II 를 600 kW, 이것을 더 改良해서 1963年에는 1,500 kW, 그리고 最年末에는 Mark V 를 40,000

kW (自勵電力 20,000 kW) 까지 發生하는데 成功했다. 이 以外로도 美國의 W.H. 가 1960年 10月에 10 kW, G.E. 가 1.6 kW, MHD Res. 가 1.0 kW 를 各各 發電 했다. 이들은 모두 化石燃料에 依해서 實現되었나, 原子爐에 依한 것을 더 낮은 溫度 (1,400~1,800°C) 에서 實現 코자 WH, NASA, Martin (以上 美國), IRDC (英國), JAPR (日本) 등에서 하고 있으나, 이것은 1970年代에 超高溫原子爐 UHTREX (1,900°K) 的 實現에서 可能성이 크게 되었고 또 이러한 溫度에서도 非平衡 電離方式을 利用해서 電子自身만 50 V/m 까지 인을 수 있는 高溫으로 할 수 있게 되었기 때문이다. 前記 化石燃料에 依한 것은 1970年에 100,000 kW 台가, 1975年에 500,000 KW台가 1980年에는 7,500,000 kW 台가 各各 實用化될 것이라는 展望을 美國에서는 세우고 있으며, 美國뿐만 아니

表 1. 實驗開發의 經過와 情況

	AVCO			W.H.	G.F.	MHD.Res.
Time (type)	1959. 8	Mark I 1960. 12	Mark II 1961. 10	1960. 10	1960	1960
Gas	Ar(He) (Plasma Jet) (Rosa)	P4+O ₂ (4 lb/sec)	Kelosin+O ₂ (6.5 lb/sec)	Diesel+O ₂ +K (way)	Carbon Powder+Air (1.14/sec)	Kelosin+ Alcohol +O ₂ , N ₂
Seeding	K ₂ CO ₃ (1%)	K ₂ CO ₃ , KOH	K 粉	K (2%mol)	K (1%)	KOH (2%)
Gas temp.(ok)	2,800	—	2,900	2,800	5,000	2,600
Gas press.(atm)	1.0	—	數	~1.0	5.5	3
Gas speed (mach)	690 (0.7)	—(1.0)	(1.0)	820 (0.8)	1,350	1,000
Duct dim	1×3×20"	3×9×60"	3.5×10.6×60"	1.6×4.9×16"	0.38×2×2"	0.5×2×2.4"
Electrode	Carbon×45	Graphite	Graphite	Graphite	Graphite	
Wall good	wood	Peg wall×53	Zr, Mgnesia	Silica	ZrO ₂ , Brass (2. 3)	
Feld (K.G.)	14	32	33	14	8.6	29
Uo (V)	55	550	1,500	100	31	100
Ic (A)	800	—	5,000	370	150	—
Power out (kW)	11.3	100	1 stage 2 stage 250 600	10.4	1.6	1.0
Output density (MW/m)	20	—	~40	3	63	—
Working time	5 sec	—	10sec	4 min~6 min	9 sec	—
Conductivity (Ω/m)	65	—	37	48	350	—

과, 英國, 佛國, 蘇聯, 日本 등에서도 最近 活潑한 開發研究가 展開되고 있다. 이를 之문대서 美國에서 開發 된 것들의 性能을 表示하면 表 1과 같다.

여기서 現在 實用型 MHD 發電의 發電 cost 를 比較할 것이 American Electric Power Co.에서 表 2와 같고, 또 operating cost 를 比較한 것이 各各 表 3, 表 4와 같다.

表 2.

MHD 發電器의 出力	338 MW
在來時 併用發電器出力	152 MW
全 出 力	490 MW
總合熱效率	53.5 %
燃素濃縮比	N ₂ /O ₂ =2/1

表 3. Operating Cost 的 比較

MHD	Conventional
Efficiency	53.5
Heat rates	6,380
Output	490
Fuel	1.47
Seed	0.09
Electrode	0.07
Cost	1.63
	1.96 mils/k Wh

表 4. Capital Cost 的 比較

MHD	Conventional	Steam
FPC 312 & 314	36	\$ 92/kW
MHD and Magnet	10	
Compressor	5	
High press. burner	1	
Inversion and reactive supply	21	
Regenerator	2	
Refrigerator	1	
Oxygen plant	Low 20	High 30
Total	96	106
		\$ 92/kW

6. MHD 直接發電에 있어서의 科學 및 技術的 問題點

MHD 發電에서 實際에 問題가 되고 있는 科學 및 技術的 問題點을 約略하면 다음과 같다.

가. 各種 energy 損失의 減輕

發電 duct 長을 縮減하여서 電極의 末端損失, 調電流 損失를 적게하고 電磁石의 励磁損失을 적게하기 위하여 電磁石를 出場하여 超導導 劵磁場 coil 을 穹心 magnet에 使用한 實用的인 것을 開發해야 한다.

나. 化石燃料 MHD 發電에 있어서 燃燒溫度를 上昇化하기 위해서 空氣豫熱法을 더 開發한다.

다. 低溫에서 作動 gas의 導電度를 높일 수 있는 非平衡熱電離法을 開發하기 위해서 高 energy electron beam, 強力한 光, maser 또는 紫外線을 利用하여

plasma 中의 electron의 溫度를 올려서 σ 를 增大하는 方法이 開發되어야 한다.

라. 高溫耐熱材料 및 冷却法의 開發, MHD 發電用의 絶緣物로서는 融點, 機械, 热 및 化學의 安定度 등 以外에 高溫에 있어서의 電氣抵抗이 問題된다. 現在 上述物質들은 常溫에서는 好은 絶緣物이라도 高溫에서 電氣抵抗이 低下하여 絶緣物로서의 機能을喪失하는 傾向이 있다. 例로서 BeO는 0°C 에서 $10^{-12}\Omega/\text{m}$ 가 $2,000^{\circ}\text{C}$ 에서 $10^{-2}\Omega/\text{m}$ 程度로劣化된다.

한편 電極材料로서는 黑鉛, W, Mo, Ta 및 合金 carbite, ceramics 등이 使用되나, 이들 가운데서 金屬은 融點 以下에서 組織이變化하여 機械的으로 脆化하여 化石燃料를 對象으로하는 境遇에는 燃燒 gas 中에 P, S, Cl 등의 化學的으로 活性인 gas를 包含하는 境遇가 많아서 그것에 依附 電極 消耗도 考慮한必要가 있다.

마. 特히 原子力 MHD 發電用으로서는 超高溫原子爐와 燃料要素가 UO_2 in BeO, UC_2 in graphite로 開發되어야 한다.

바. Seed 注入, 回收方法 特히 原子爐方式에서는 安全性이 檢討되어야 한다.

사. 非平衡 發電器의 開發에 依하여 作動溫度를 低下시킬 수 있고 MHD 壓縮器가 開發되어야 한다.

7. 參考文獻

- (1) "MHD 發電の展望": 1964年度 日本電氣 4學會連合大會 Symposium 論稿
- (2) 關口忠: "エネルギー變換論" 第6章 1964.5 ファインス社
- (3) S.Way et al.: Jourl of Eng for Power. (Oct. 1951)
- (4) R.J. Rosa : "Physics of Fluids", 4, 182, Feb. 1951
- (5) B.C. Lindley: : "6th World Petroleum Conf." (Frankfurt June, 1963) Paper VI-29.
- (6) A.R. Kantrowitz : "Fundamental Advantages of MHD Power Generation" 1962.5 JAERI Report. (1964年 6月 8日 接受)